

RUHR-UNIVERSITÄT BOCHUM

ADVANCED MATERIALS PROCESSING AND MICROFABRICATION

Technologische Anwendung des Bainit

Struktur

- Übersicht: Bainitische Werkstoffe
- 2. Anwendung für Massivwerkstoffe
 - Vergütungsstahlguss GS 50CrSiNiMo5
 - Advanced Bainitic Steels, z.B. für Schienen
 - Bainitisierter Wälzlagerstahl 100Cr6
 - Austempered Ductice Iron (ADI)
 - Bainitisieren von Gusseisen (ADI) im Druckgussverfahren
- 3. Anwendung für Flachprodukte
 - TRIP-Stahl (siehe "Ein- und Mehrphasenstähle [...]")
- 4. Zusammenfassung
- 5. Literatur



Übersicht: Banitische Werkstoffe

gegossen

Austempered Ductile Iron

Schweißlegierungen mit nadelförmigem Ferrit

umgeformt

Hochfester Bainit (R_{p0,2} 1200-2500 MPa)

Höherfester Bainit (R_{p0,2} <1200 MPa)

Kriechbest. bainitische Stähle (für T < 570°C)

Schmiedelegierungen für Automotive-Anwendungen (R_{p0,2} <900 MPa)

TRIP-Stahl



Vorzüge des Bainitisierens

Bainitischer Stahl (-guss)

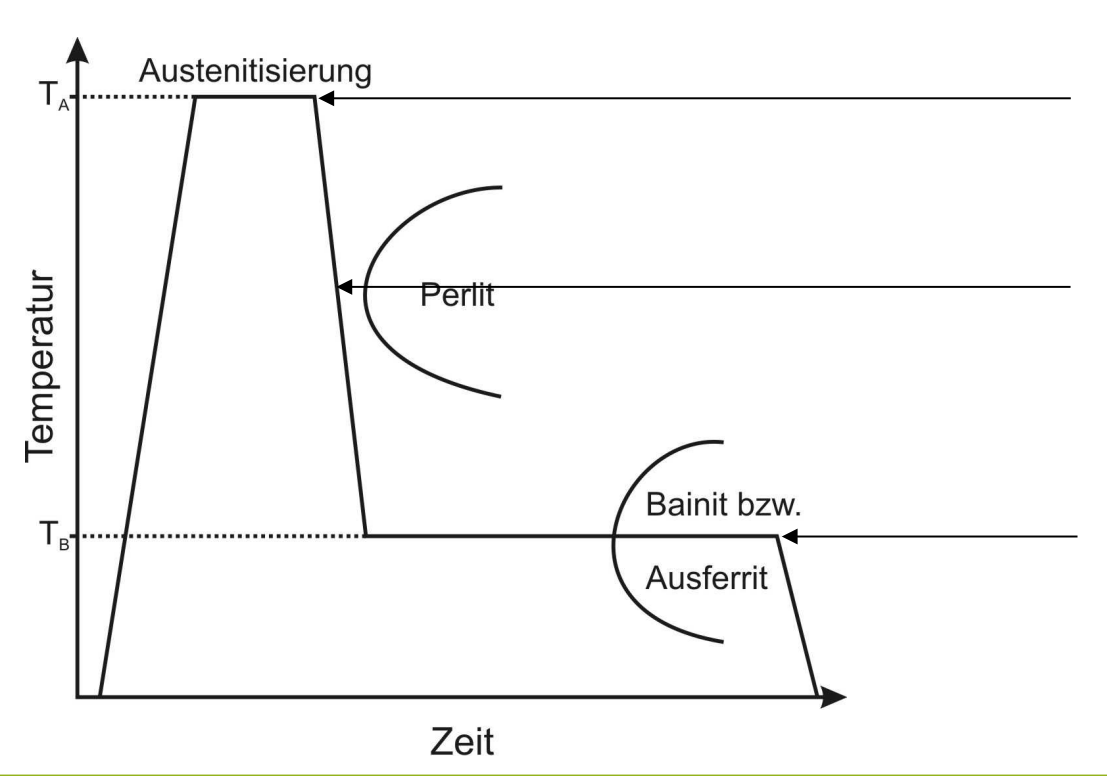
- Konkurrenz zum Martensit
 - Erzielung höherer Zähigkeiten
 - günstigerer Eigenspannungsverlauf
 - geringerer Verzug
 - Verminderung der Gefahr von Härterissen

Austempered Ductile Iron (ADI)

- Konkurrenz zu GJS
 - hohe Festigkeit bei hoher Zähigkeit
- Konkurrenz zum geschmiedeten Stahl
 - endformnah
 - hohe Verschleißbeständigkeit
 - gute Dämpfung
 - geringere Dichte



Prozessablauf des Bainitisierens



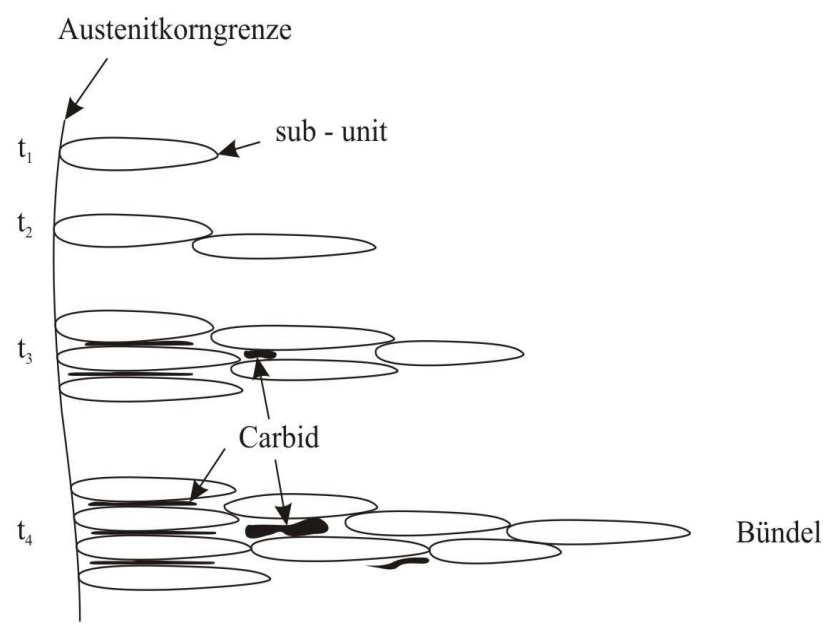
Umwandlung Ferrit/Perlit → Austenit Erhöhung des C – Gehalts im Austenit

Gezielte Abkühlung auf Haltetemperatur Vermeidung der Perlitbildung Gefüge: metastabiler Austenit

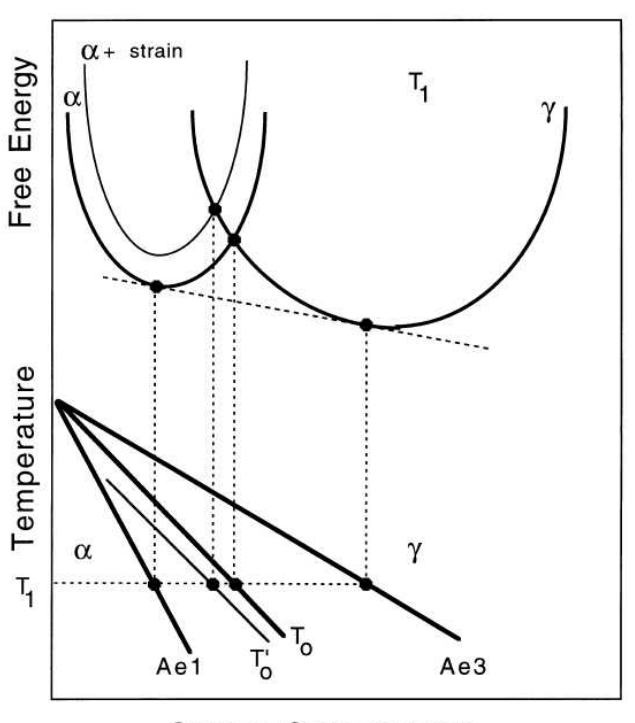
Isotherme Bainitisierung Durch Legierungszusammensetzung und Prozessführung Erhalt von Restaustenit



Bildungskinetik des Bainit & T₀-Kriterium



Quelle: Bhadeshia: Bainite in steels

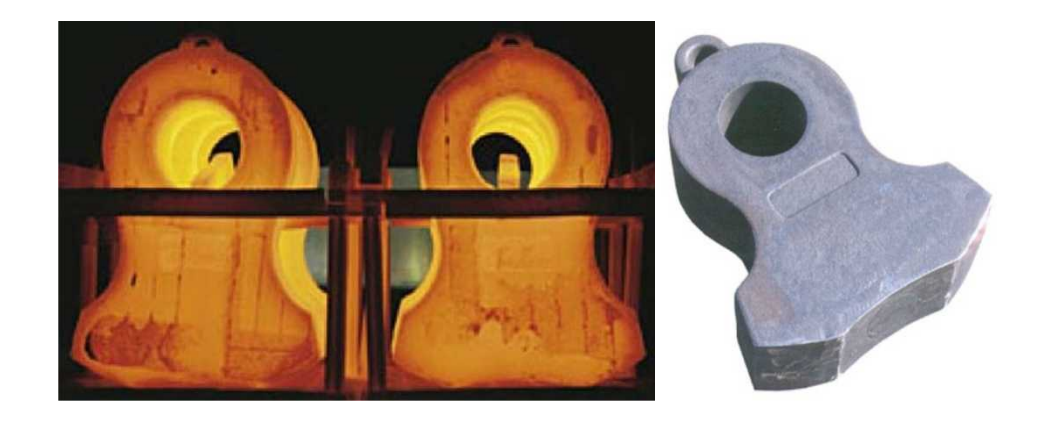


Carbon Concentration

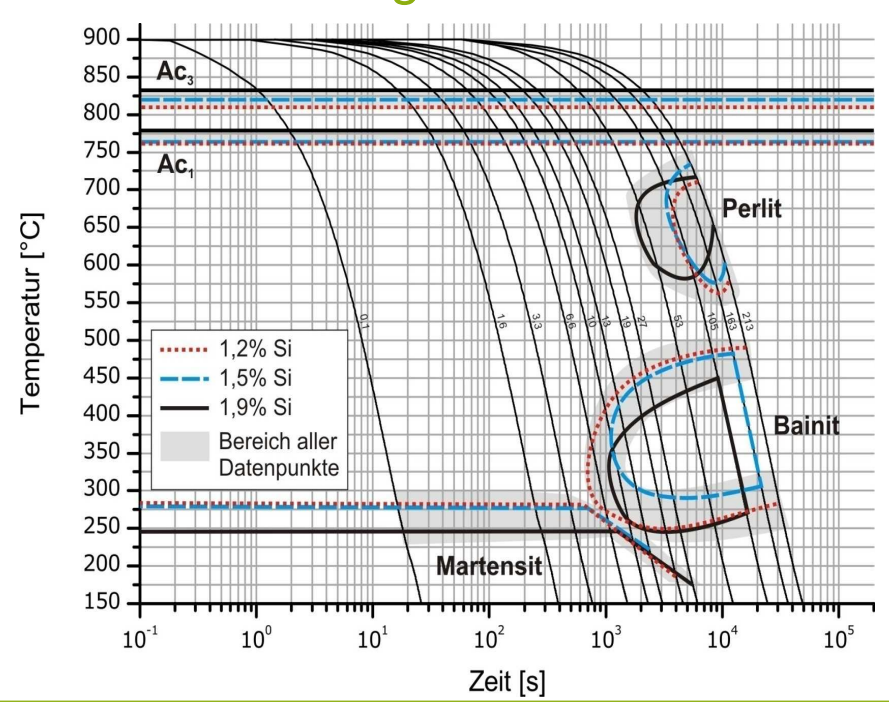




Vergütungsstahlguss GS 50CrSiNiMo5



Kontinuierliches ZTU – Diagramm des Stahles GS 50CrSiNiMo5



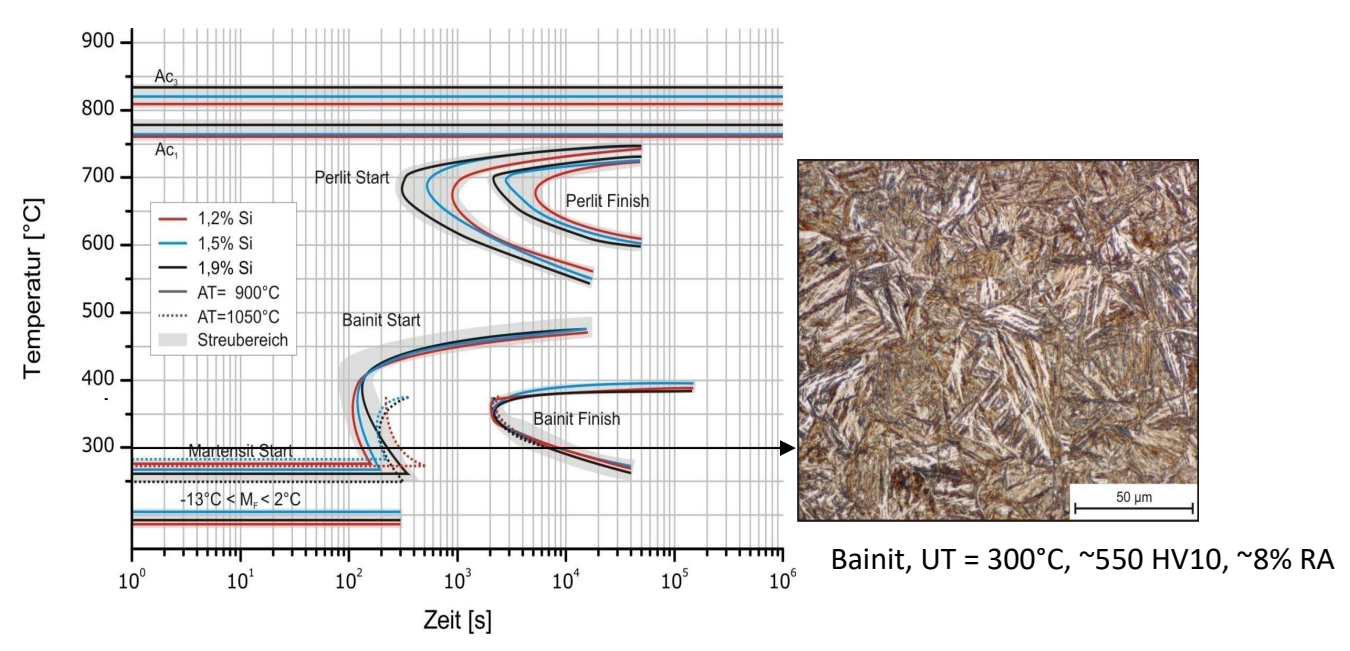
t_{8/5} - Zeiten

 $T_A = 900^{\circ}C$

RUHR UNIVERSITÄT BOCHUM

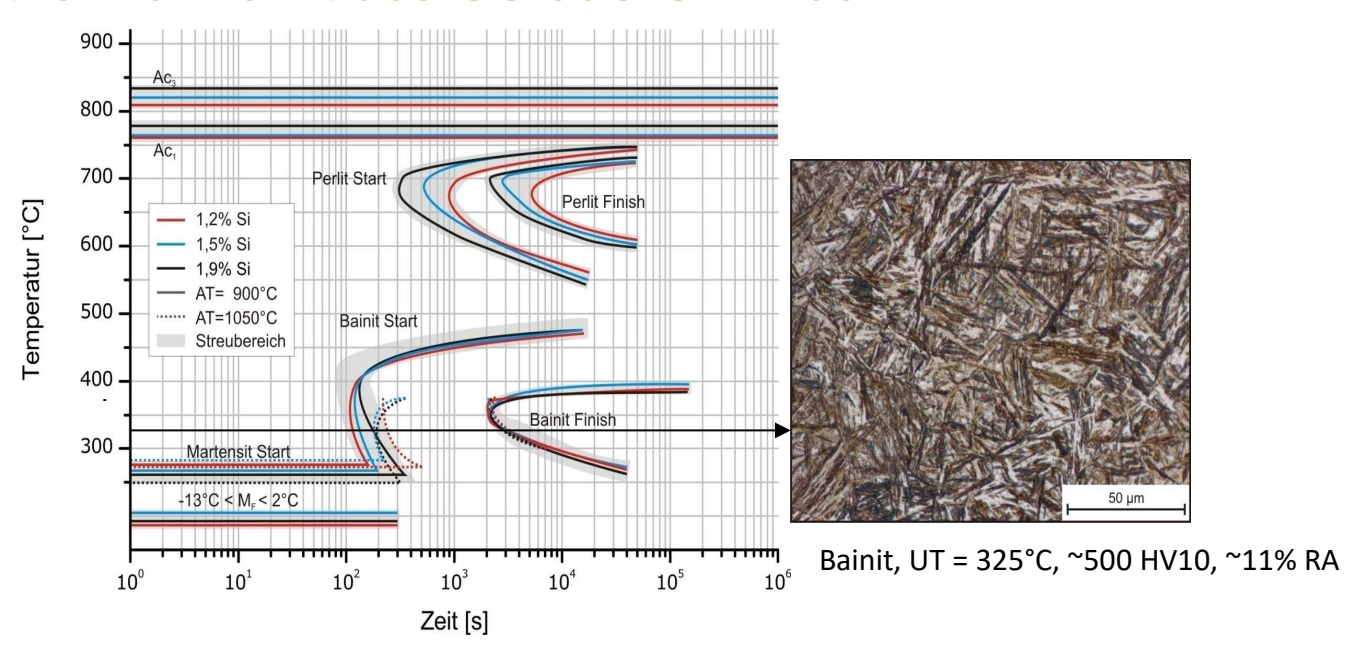


Isothermer Bainit des GS 50CrSiNiMo5



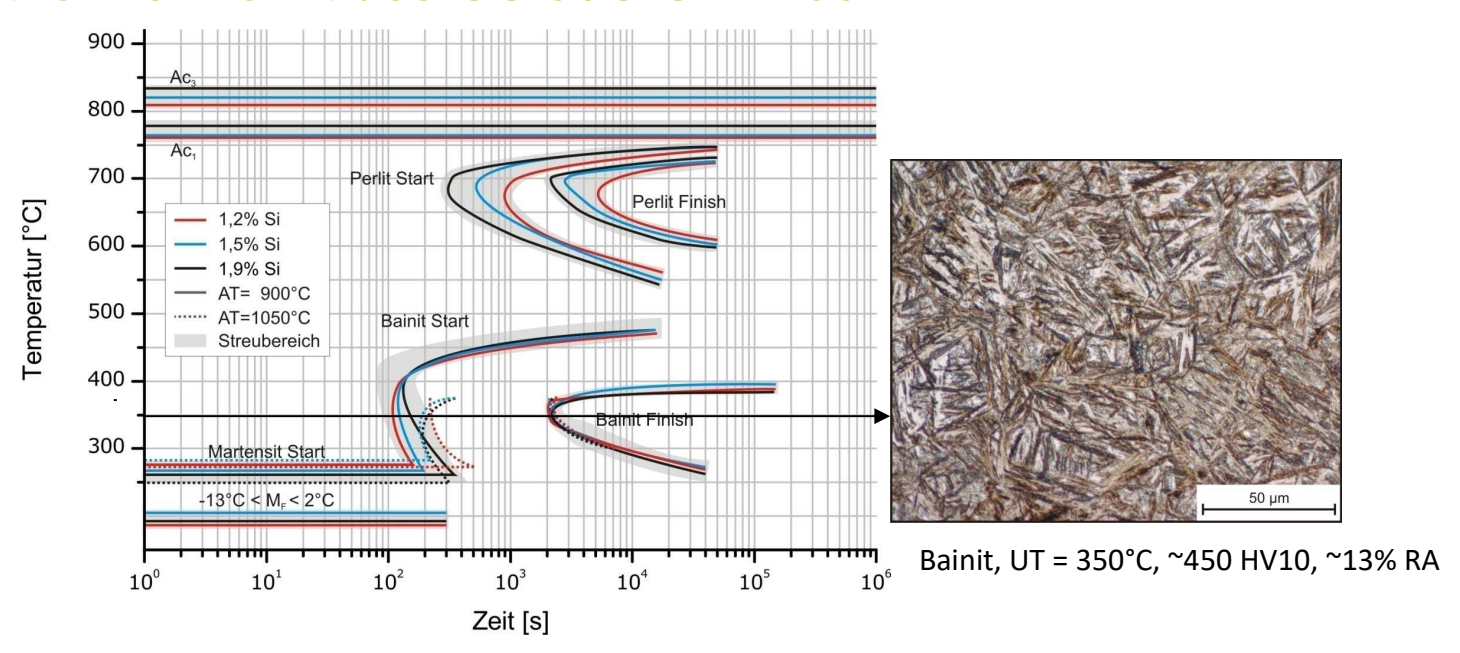


Isothermer Bainit des GS 50CrSiNiMo5





Isothermer Bainit des GS 50CrSiNiMo5

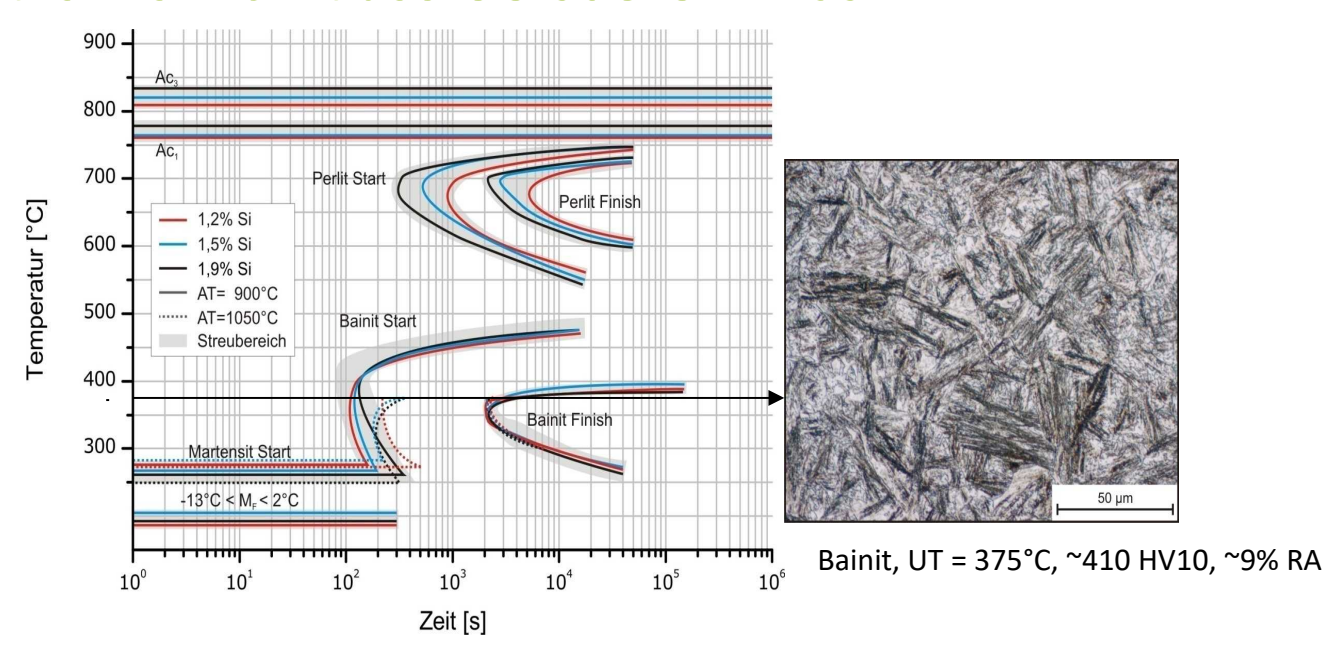


Entwicklung des Gefüges mit 3% HNO3 + 97% Ethanol



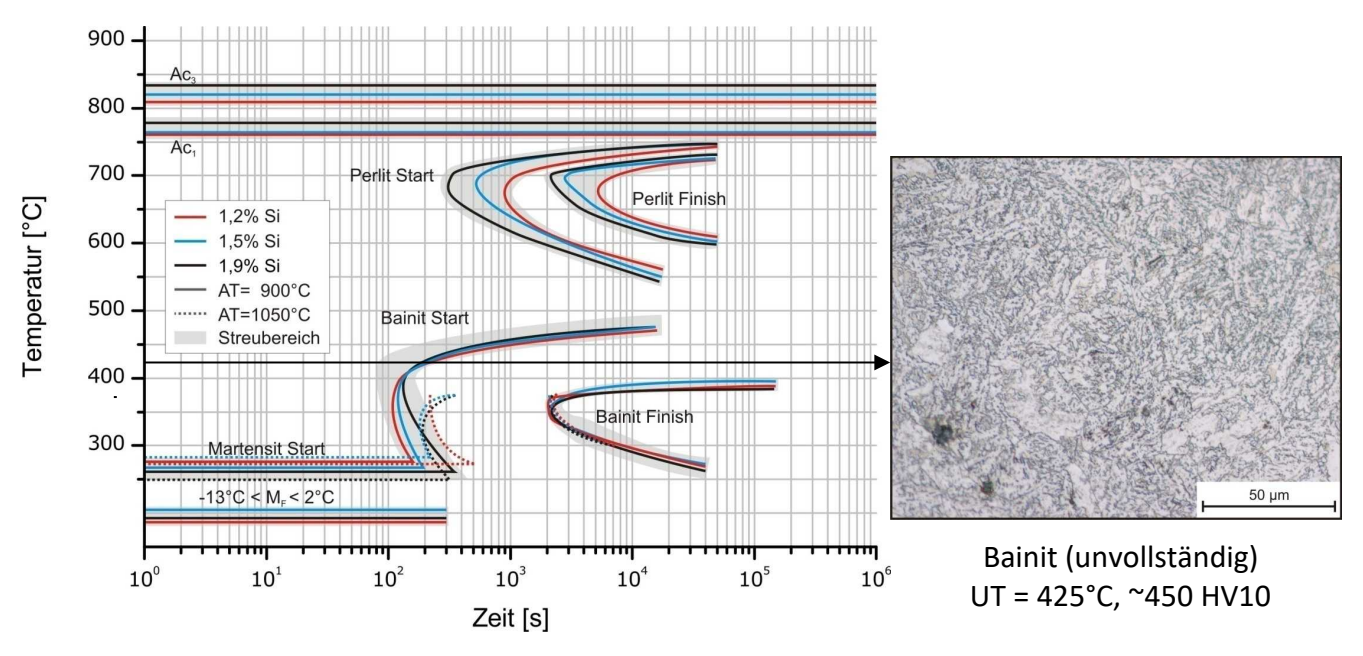
11

Isothermer Bainit des GS 50CrSiNiMo5



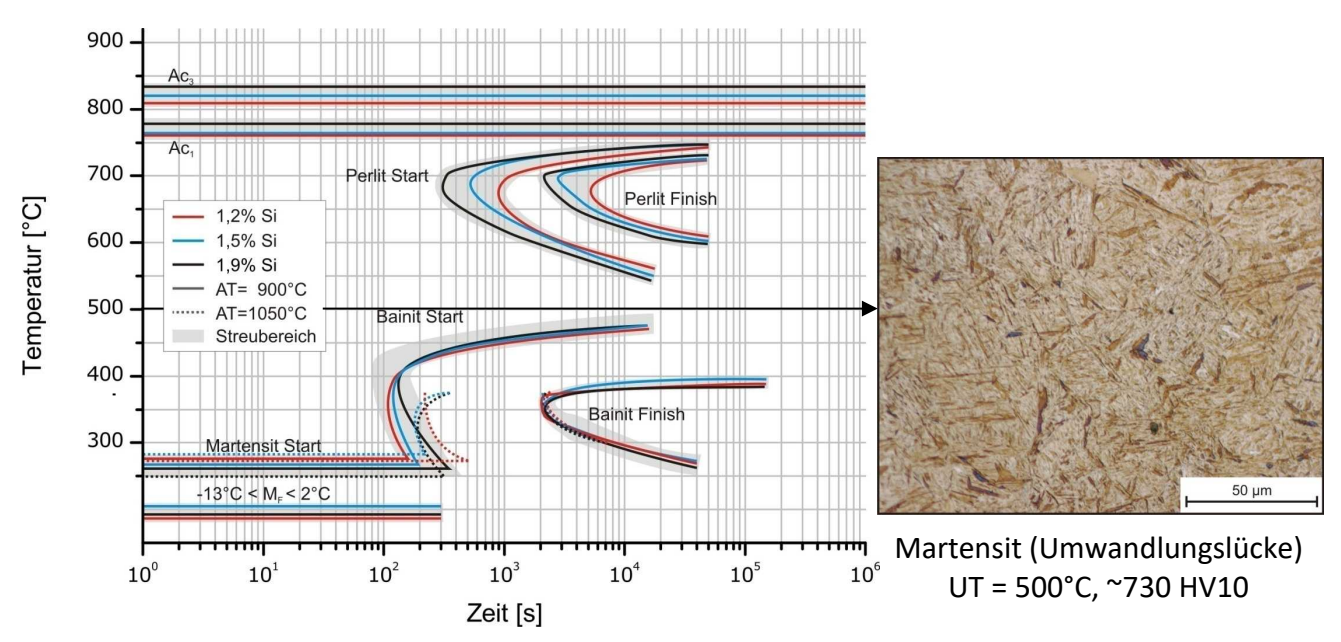


Isothermer Bainit des GS 50CrSiNiMo5



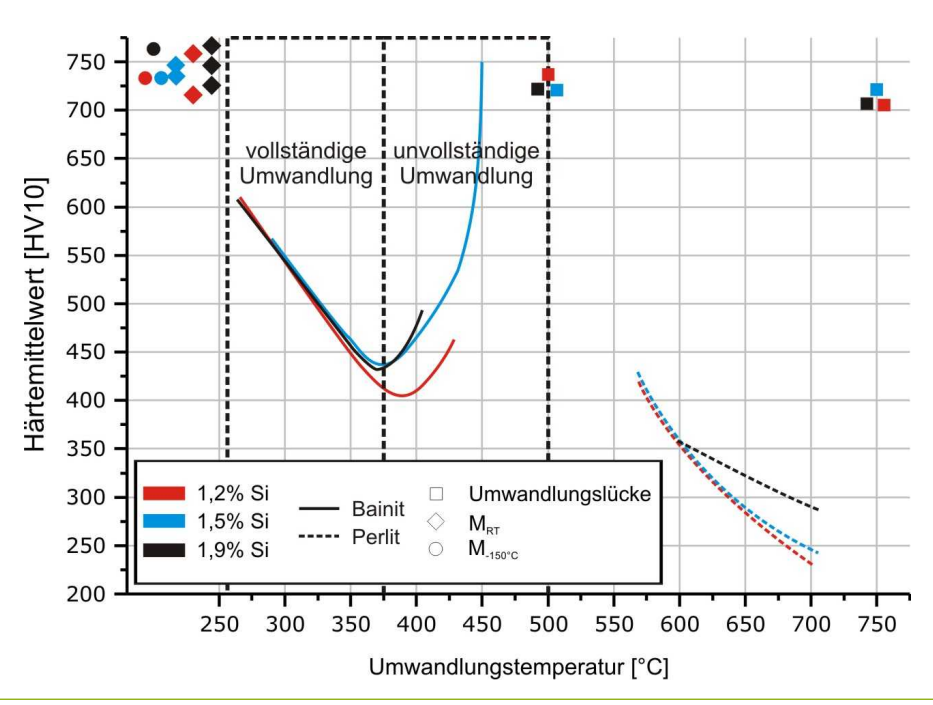


Isothermer Bainit des GS 50CrSiNiMo5





Härte des isothermen Bainits des GS 50CrSiNiMo5

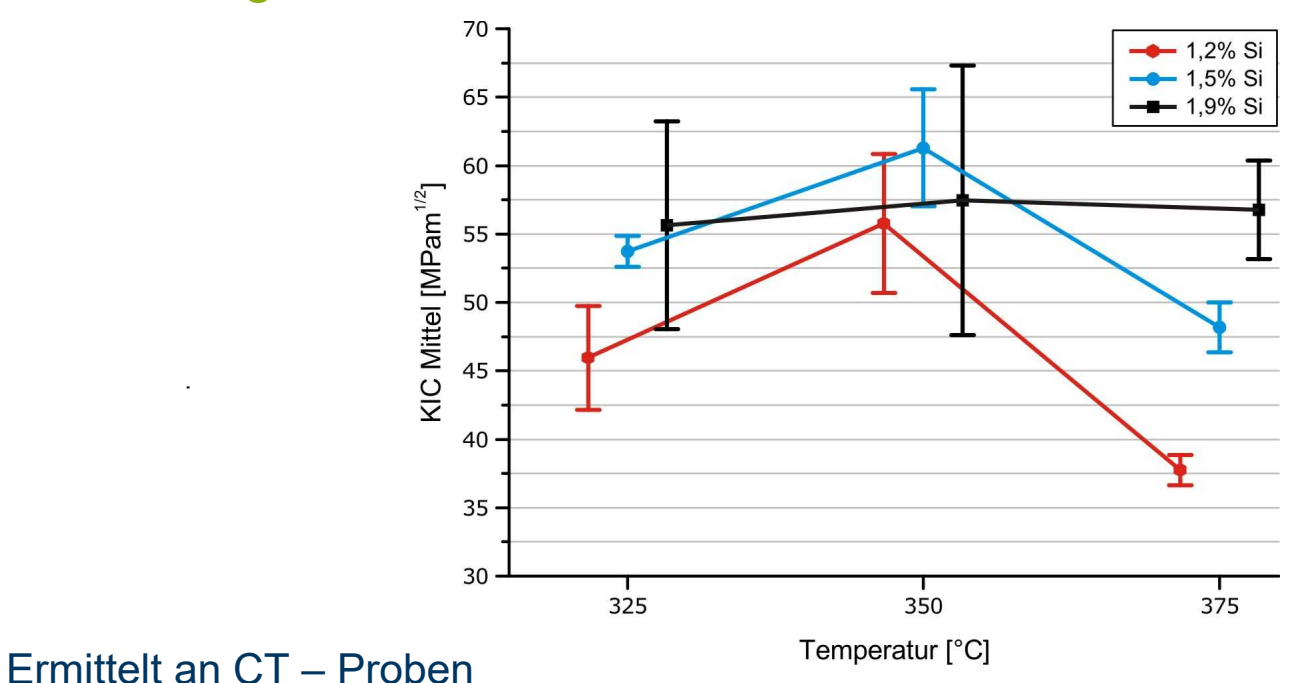


Prüftemperatur: RT





Bruchzähigkeit des isothermen Bainits des GS 50CrSiNiMo5

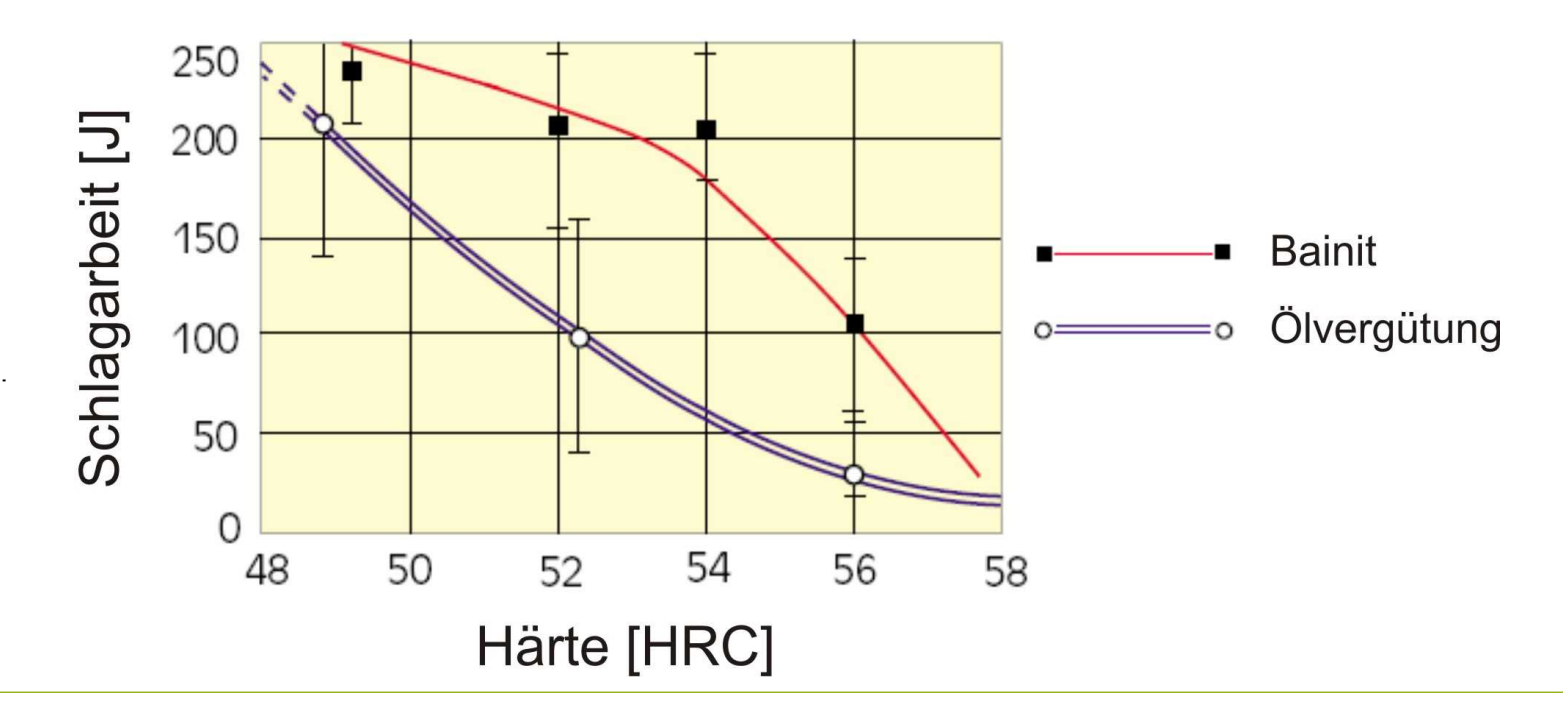






Bainit von Vergütungsstählen

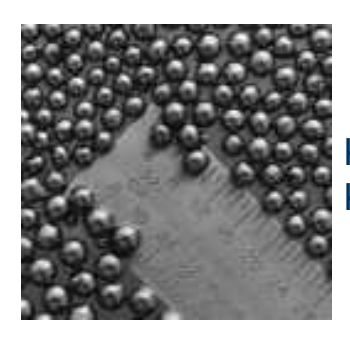
Vergleich der Schlagarbeit eines vergüteten und eines bainitisierten C67



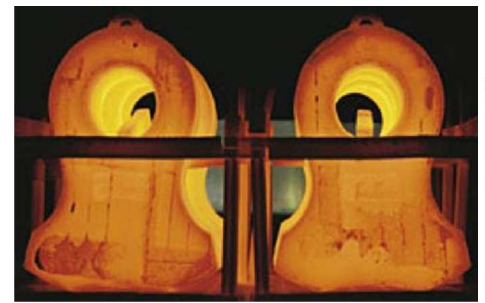


Bainit von Vergütungsstählen

Anwendungen für bainitisierten Vergütungsstahl



Kugeln zum Kugelstrahlen





Schredderhämmer für die Schrottzerkleinerung



Schienenräder

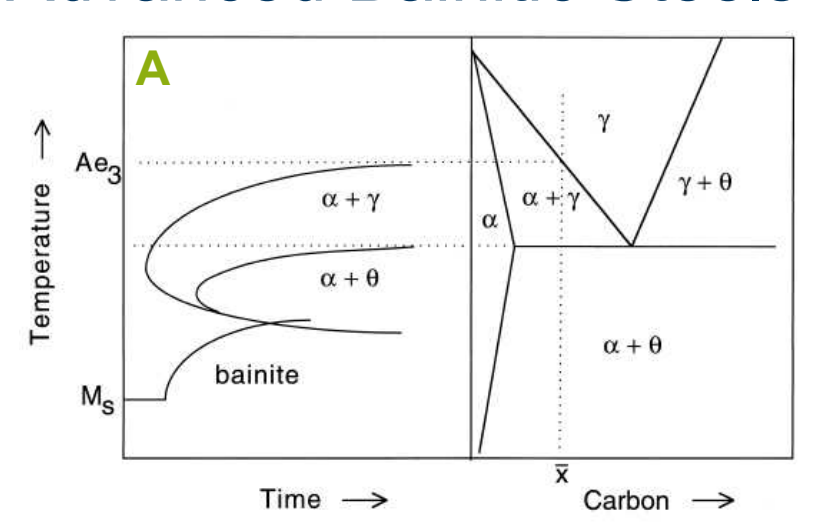


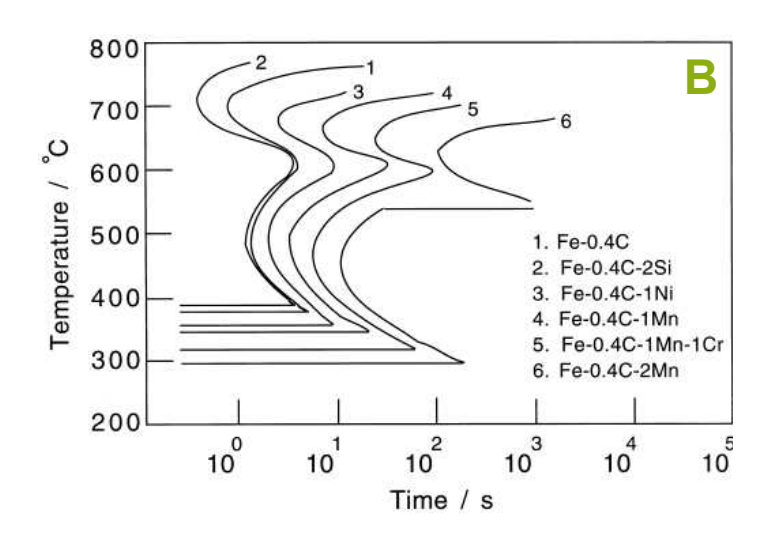
Sägeblätter zum Trennen untersch. Werkstoffe





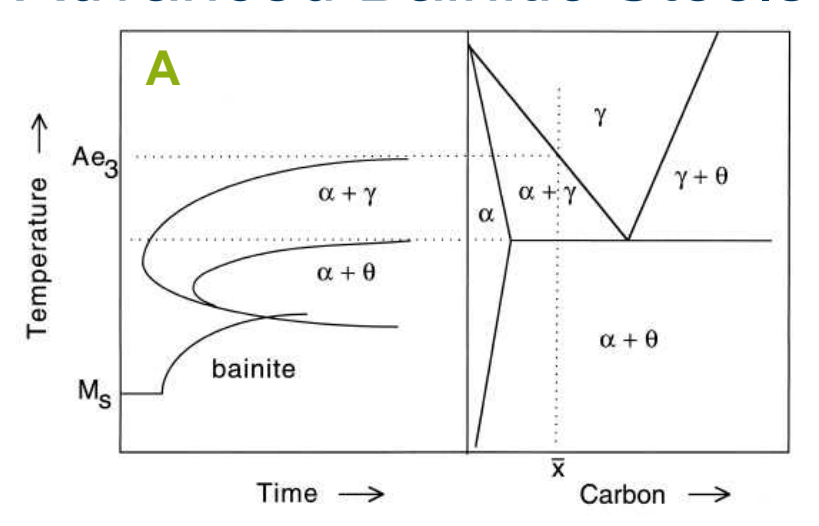
19

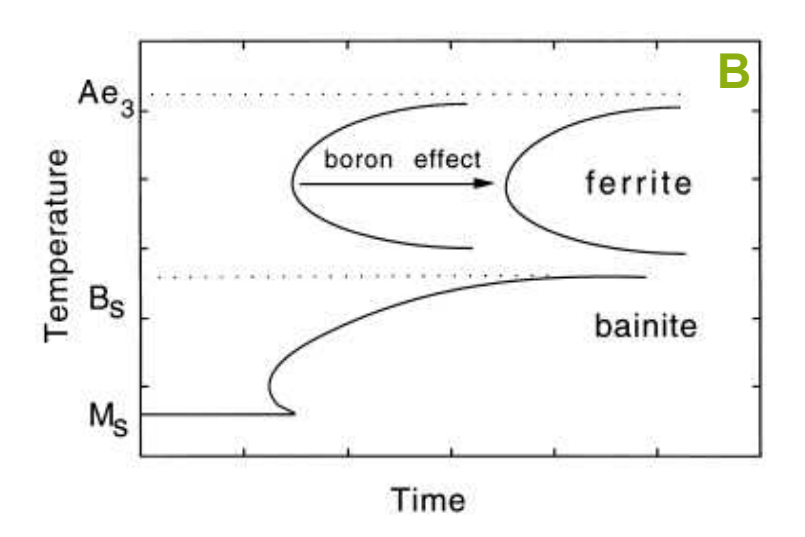




- A) Verknüpfung von Gleichgewichts- und ZTU-Diagramm
- B) Einfluss von Legierungselementen auf Perlit- und Bainit-Umwandlung: Die diffusionskontrollierte Bildung von Perlit wird vor allem durch Zugabe von Mangan verzögert, und zwar wesentlich stärker als die Bildung von Bainit. Einen ähnlichen Einfluss übt Bor aus. Lage der C-Kurven bei tieferer Temperatur durch thermodynamische Stabilisierung des Austenites, gegenläufiger Einfluss von Silizium (vgl. Abbildung A).







- A) Verknüpfung von Gleichgewichts- und ZTU-Diagramm
- B) Einfluss von Legierungselementen auf Perlit- und Bainit-Umwandlung: Die diffusionskontrollierte Bildung von Perlit wird vor allem durch Zugabe von Mangan verzögert, und zwar wesentlich stärker als die Bildung von Bainit. Einen ähnlichen Einfluss übt Bor aus. Lage der C-Kurven bei tieferer Temperatur durch thermodynamische Stabilisierung des Austenites, gegenläufiger Einfluss von Silizium (vgl. Abbildung A).



Chemische Zusammensetzung ausgewählter "Advanced Bainitic Steels"

С	Si	Mn	Ni	Мо	Nb	Ti	В	Al	N	Nr.
0,04	0,2	1,55	0,2		0,04	0,015	0,00013	0,024	0,003	2
0,12	1,5	1,5						0,045	0,0035	8
0,1	0,25	1,0								5
0,02	0,2	2,0	0,3	0,3	0,05	0,02	0,001		0,0025	9
0,09	0,25	1,0	0,5	1,0	0,1	0,02	0,002	0,04	0,006	15

- 2 Bainitisch bei beschleunigter Abkühlung
- 8 TRIP Stahl
- 5 Bainitischer Dualphasen-Stahl
- 9 ULCB ultra low carbon boron steel
- 15 Schmiedelegierung, "100%" Bainit



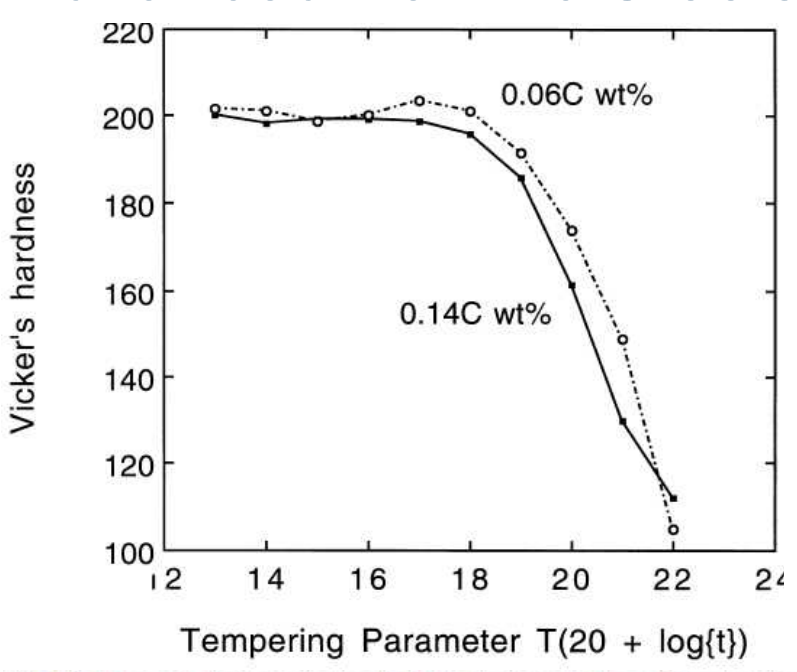


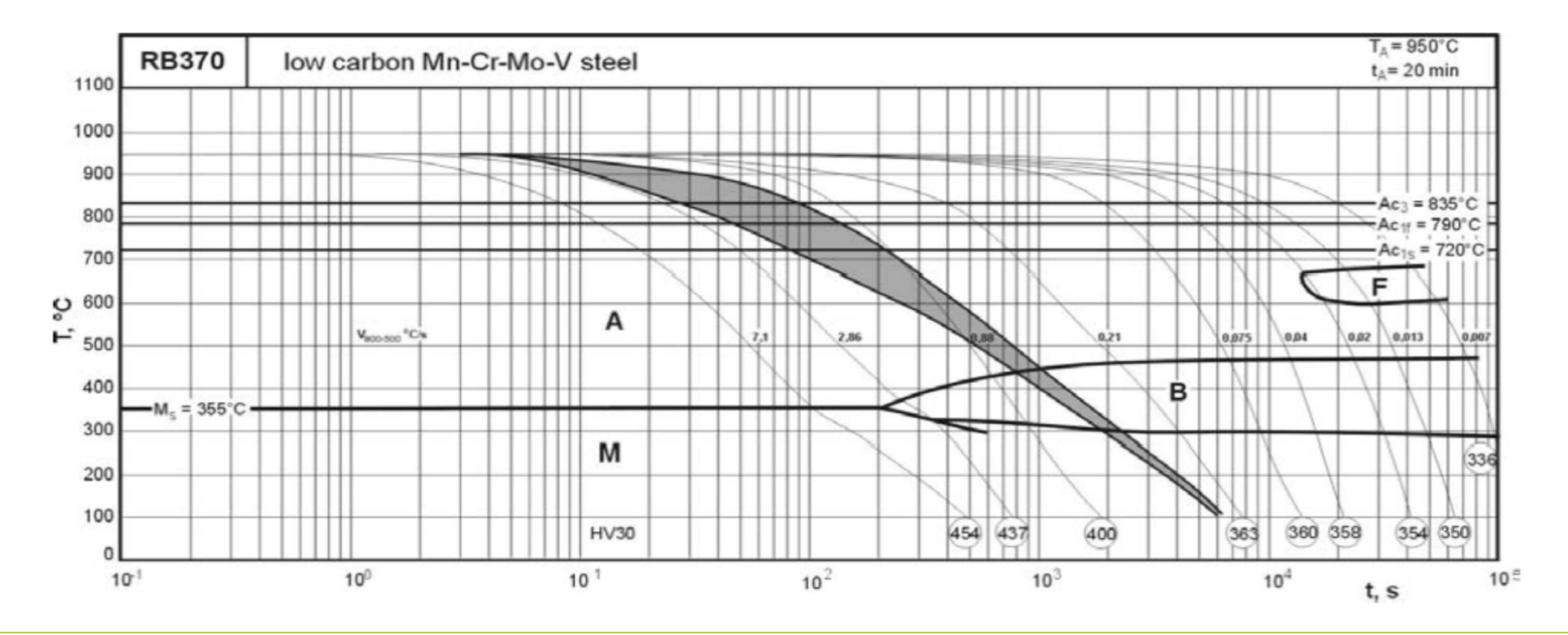
Fig. 4.2 Change in hardness for two bainitic steels containing different carbon concentrations, as a function of a time-temperature tempering parameter (after Irvine and Pickering, 1957). The tempering parameter is defined with the absolute temperature T and the time t in hours.

 Im Vergleich zu Martensit wesentlich geringerer Einfluss des C-Gehaltes auf Härte- und Anlassverhalten

Bhadeshia: Bainite in steels, S. 93



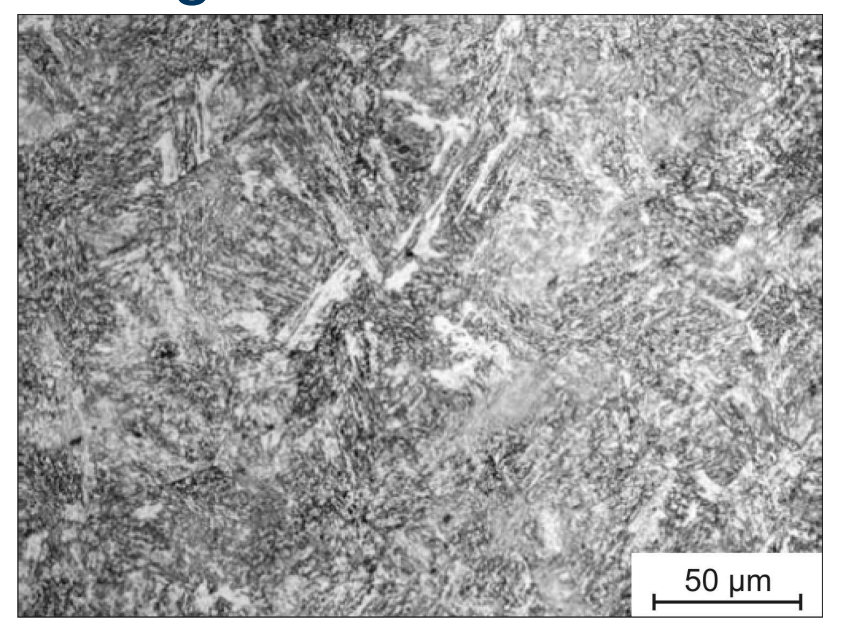
Kontinuierliche ZTU-Diagramme von Radschienenstählen

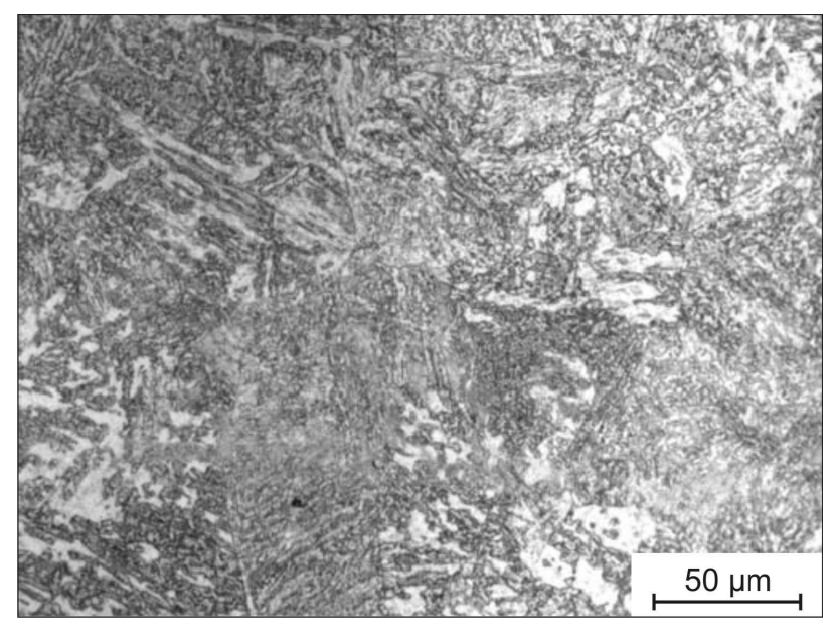






Gefüge von Radschienenstahl





RB370 RB390

Mechan. Eigenschaften der bainitischen Schienenstähle

	HBW	R _{p0,2} [MPa]	R _m [MPa]	A [%]	Z [%]	KV [J]	K _{IC} [MPam ^{0,5}]	K _{IC,-20°C} [MPam ^{0,5}]
RB370	371-378	843-858	1197-1211	12,2-14,1	38,6-43	28,3-33,9	51,9-54,5	40,3-42,3
RB390	390-398	825-832	1347-1353	13-14,9	43-49	33,2-38,4	90,5-92,1	61,2-63
R350HT	350-390	700-712	1080-1098	10,3-11,1	-	-	23,2-25,6	mind. 32



RB370 & RB390: Bainitische Schienenstähle R350HT: klassicher Schienenstahl (fein-perlitisch)

Bainitische Schienen für den Eurotunnel (Testphase: Beginn Januar 2007)



Verschleiß zweier Schienenstähle im Einsatz



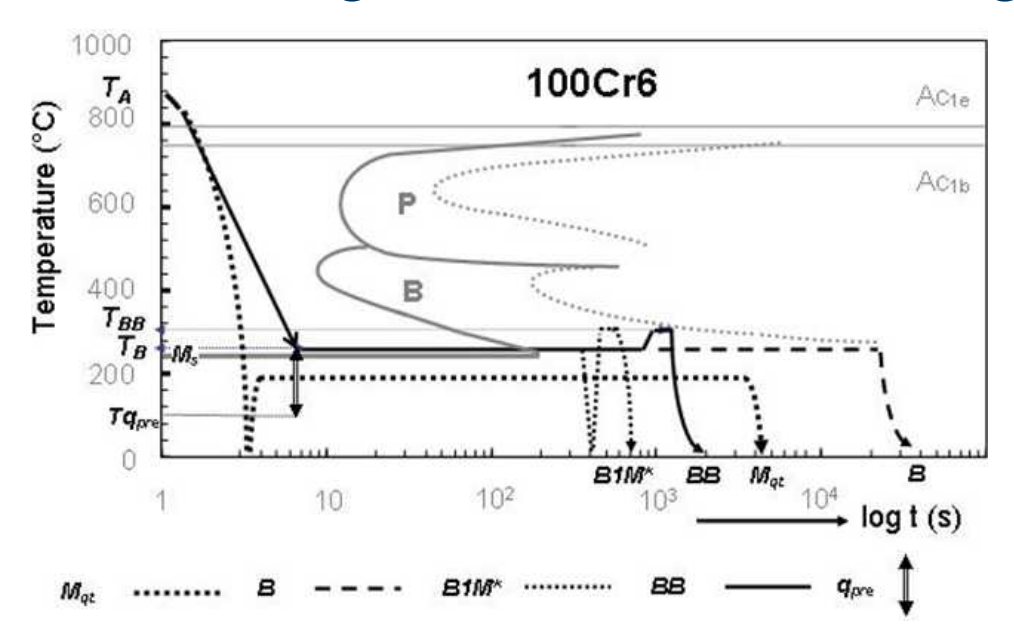


Bainitisierter Wälzlagerstahl 100Cr6





Wärmebehandlungen zur Bainitisierung des 100Cr6



Isothermisches ZTU Diagramm des Stahles 100Cr6 (SAE 52100) mit Bezeichnung der Temperaturzyklen und der Methode einer Vorabschreckung (qpre)



Wärmebehandlungen zur Bainitisierung des 100Cr6

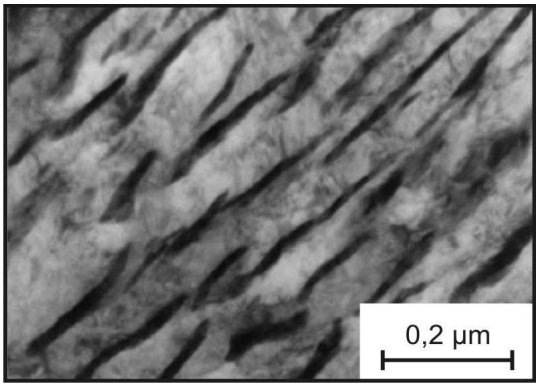
	Prozessdaten für die Praxis				
Zyklen	Austenitisierung	Wärme- behandlung			
M _{angelassen}		Ölabschreckung auf RT / 170°C 2h			
В		230 °C 4 h			
B1M*	845°C 20 min/ (Salzbad)	230 °C 25 min / H ₂ O RT + 250 °C 5 min			
B unvollständig	(Gaizbau)	230 °C 50 min / H ₂ O RT			
845BB		230 °C 50 min + 250 °C 5 min / H ₂ O RT			

Wärmebehandlungen bezeichnet gemäß DIN EN 10052



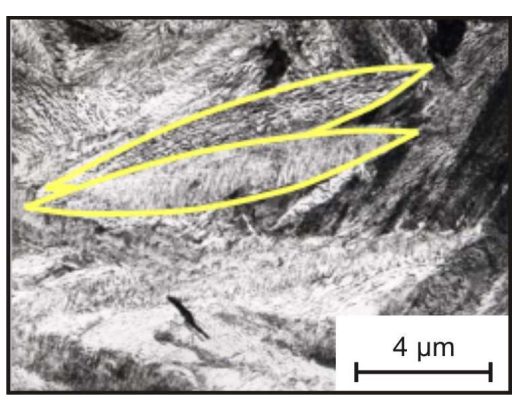
REM – Gefügebilder des Bainits des 100Cr6

oberer Bainit



$$T_{\rm B} = 350^{\circ}{\rm C}$$

unterer Bainit

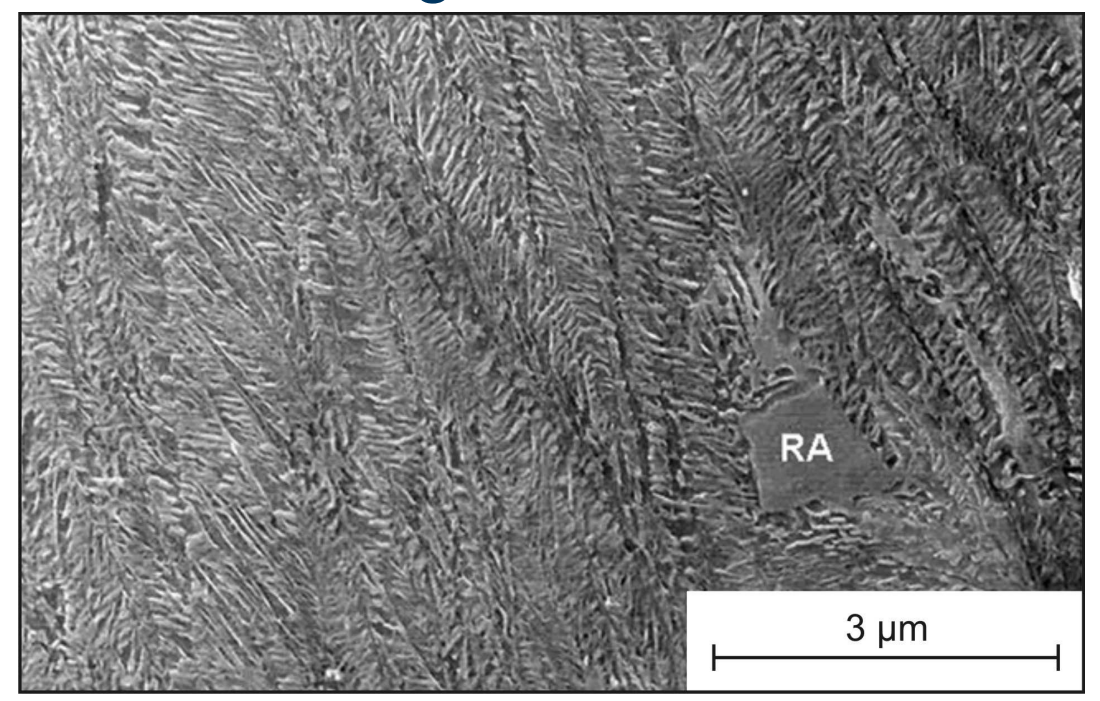


TB = 230°C

- niedrige Temperatur
- hoher Si Gehalt

Dr.-Ing. H. Klümper-Westkamp: "Sensorkontrolliertes Bainitisieren von Gusseisen", Projektvorschlag 04.11. 2008 in Bremen Stiftung Institut für Werkstofftechnik (Bremen), http://www.awt-online.org/uploads/media/Top 7 ADI Guss Sensor 04 11 2008.pdf

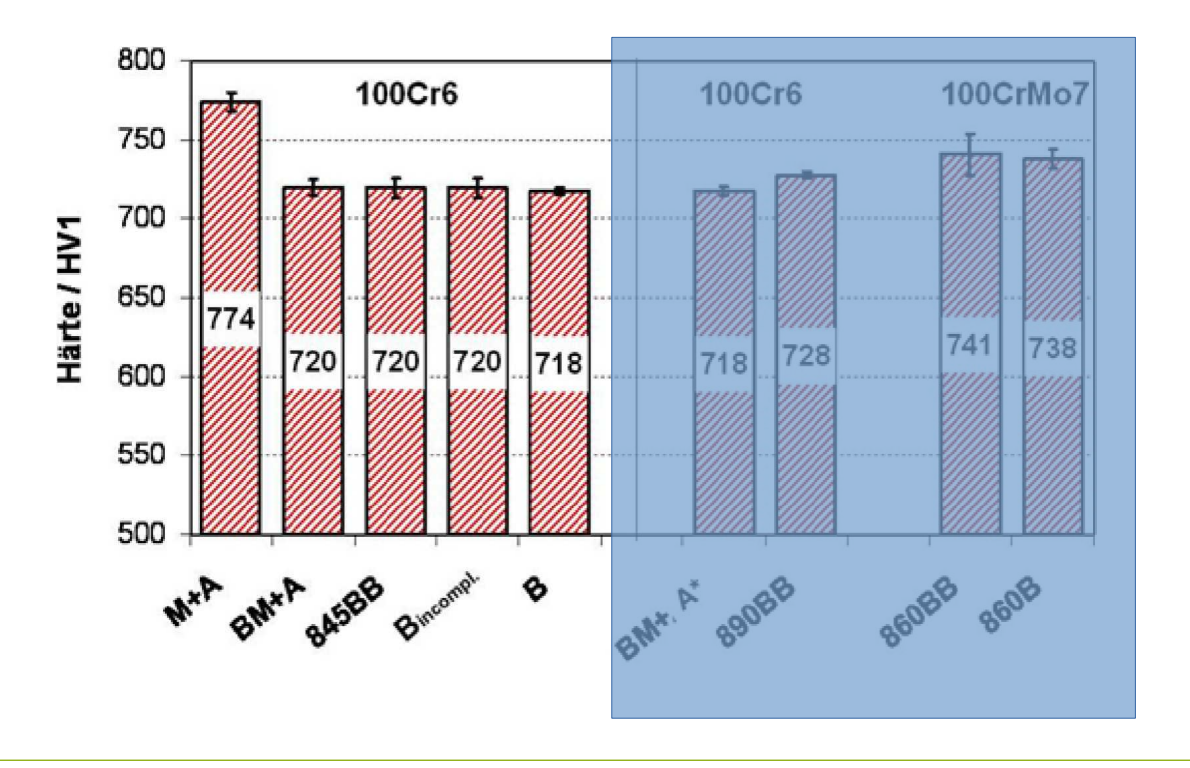
REM – Gefügebilder des Bainits des 100Cr6



Unterer Bainit mit Restaustenit (RA) nach unvollständiger Umwandlung [Feld Emissions REM (15 keV)] Aufnahme einer elektrolytisch gedünnten TEM Folie]



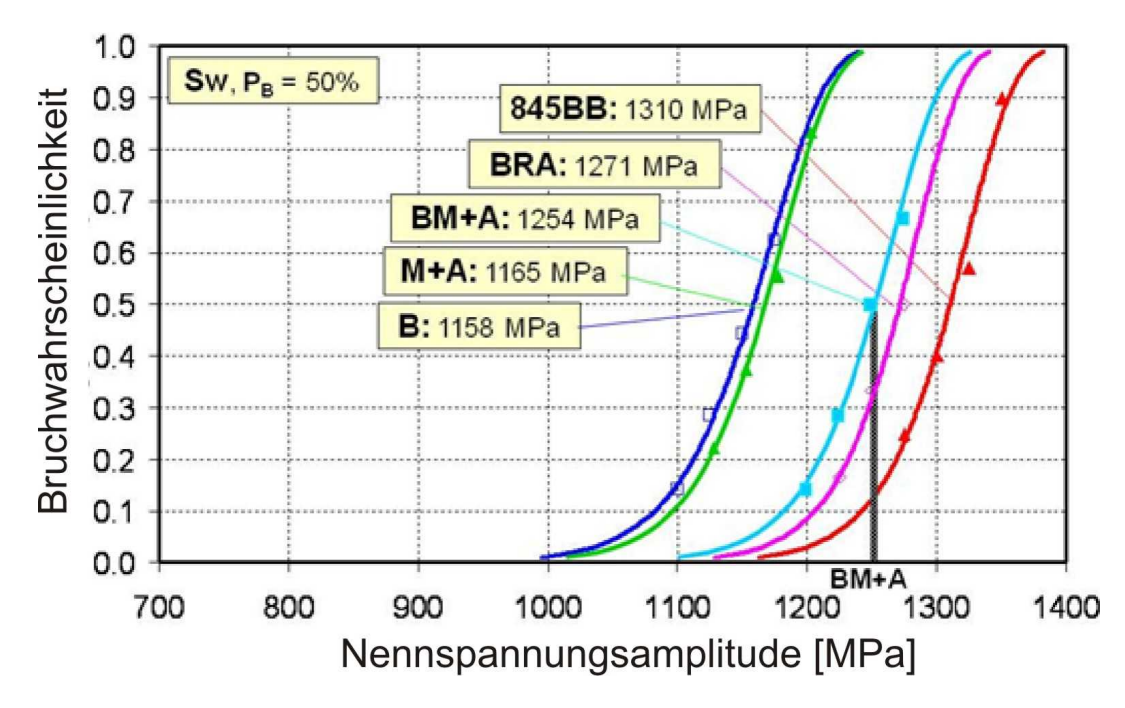
Härten des 100Cr6 nach verschiedenen Wärmebehandlungen





Vergleich der verschiedenen Wärmebehandlungen

Im Umlaufbiegeversuch:





Anwendungen für bainitischen 100Cr6





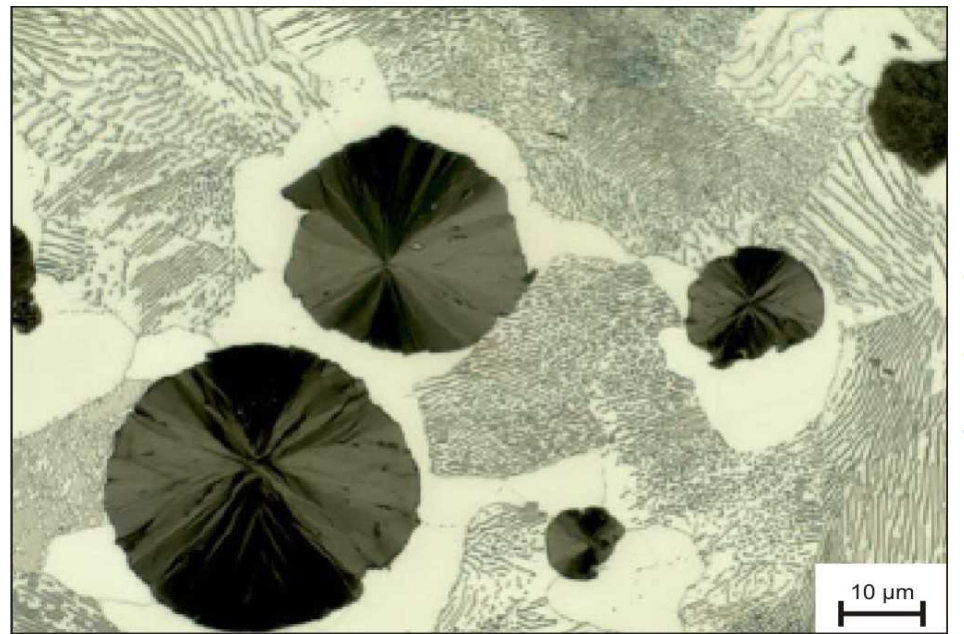
Getriebekomponenten: Zahnräder, Wälzlager, Wellen

Austempered Ductile Iron (ADI)





Ausgangsgefüge vor der Bainitisierung



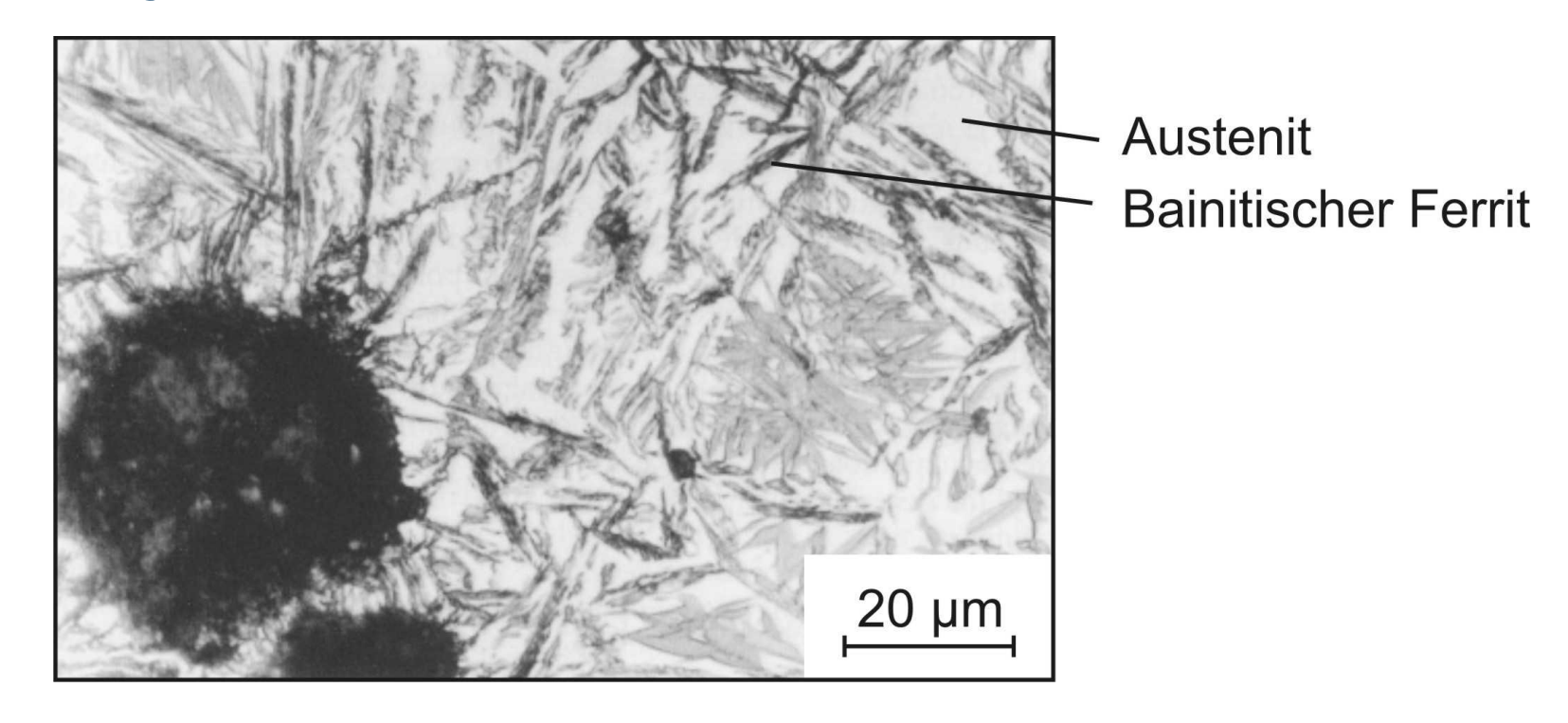
Angaben in Ma.-%

С	Si	Mn	Cr	Ni	Cu
3,6	2,21	0,16	0,07	0,063	0,291

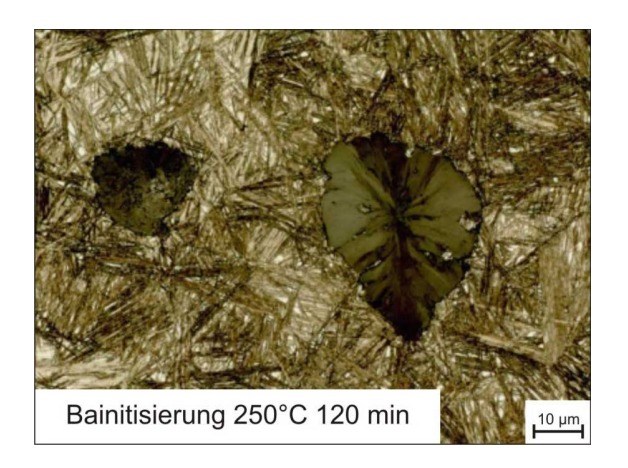
GJS 600-3

37

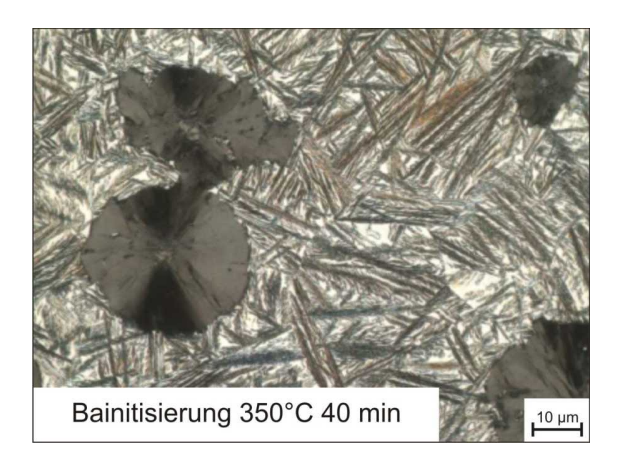
Gefüge des Bainits des ADI



Einfluss der Bainitisierungstemperatur



- hohe Festigkeit
- verringerter Restaustenitgehalt
- erhöhter Bainitgehalt
- niedrige Dehnung

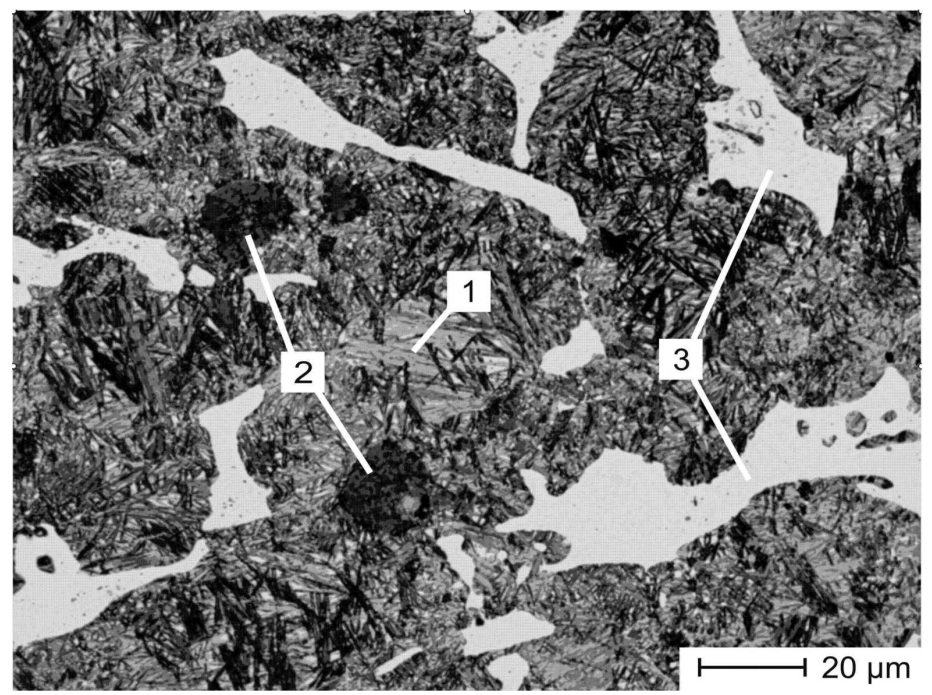


- niedrige Festigkeit
- erhöhter Restaustenitgehalt
- verringerter Bainitgehalt
- hohe Dehnung



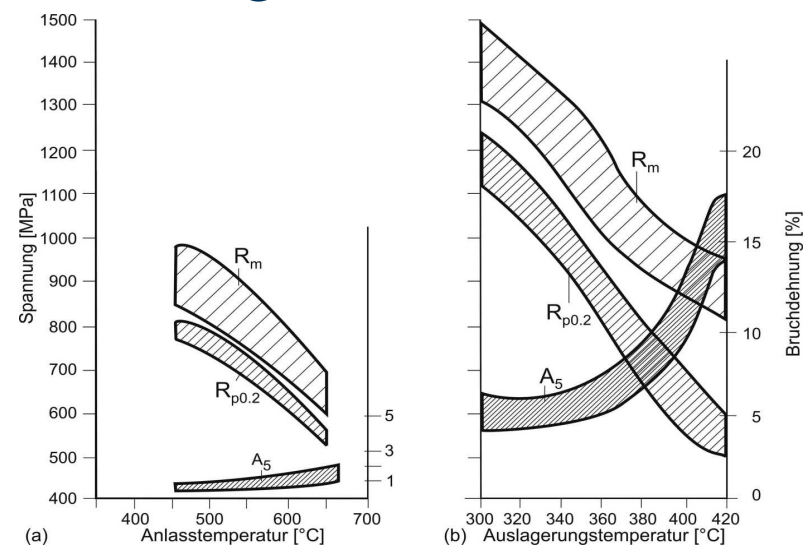
Karbidhaltiger ADI

Lichtmikroskopische Aufnahme von karbidischem ADI: 1: Ausferrit; 2: Graphit; 3: Fe₃C





Mechanische Eigenschaften von ADI



Mechanische Eigenschaften von Gusseisen mit Kugelgraphit:

- (a) nach dem Härten von 900°C als Funktion der Anlasstemperatur (nach S. Hasse)
- (b) nach dem Austenitisieren in Abhängigkeit von der isothermen Haltetemperatur zur Umwandlung in der Bainitstufe (nach E. Dorazil et al.)



Anwendungen für ADI



Mahlkugeln



Landwirtschaftliche Anwendungen



Mahlwalzen



Kurbelwelle





Trägerplatte und montierte Räderkassette für einen 10-Zylinder-Dieselmotor von VW

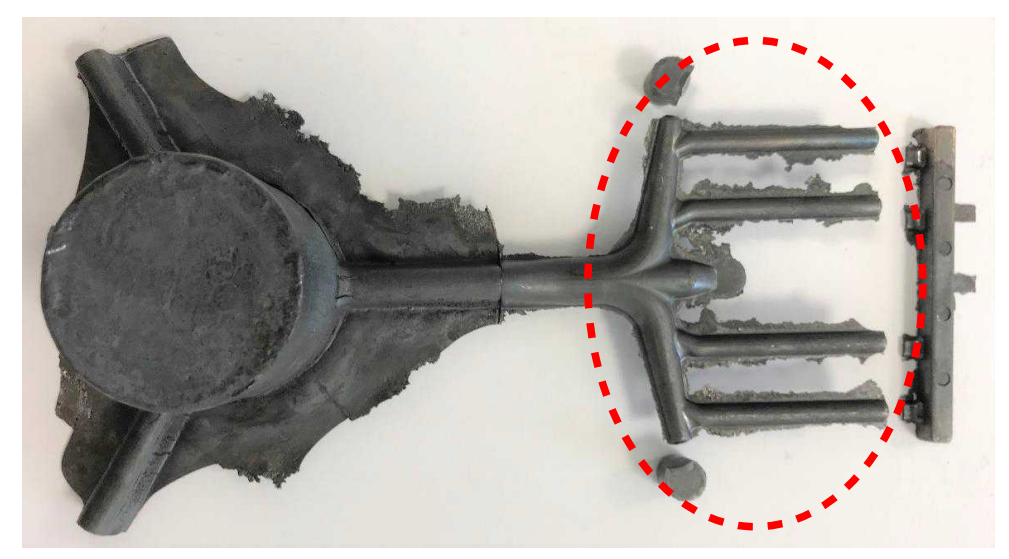


Getriebekomponenten





Filterköpfe in Hydrauliksystemen

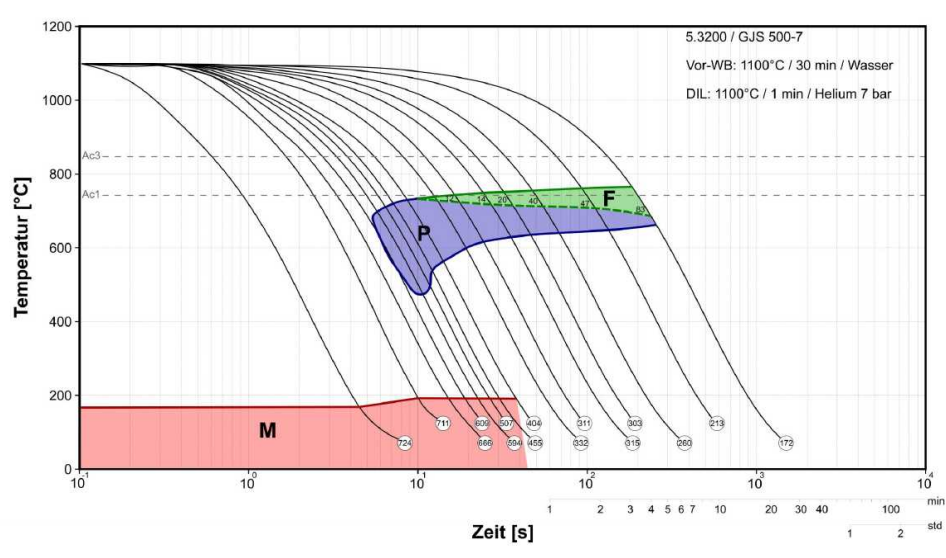


- Herstellung dünnwandiger Bauteile auf Fe-Basis durch einen Druckgieß-Prozess
- Anschließende Bainitisierung ("Austempering") zur Optimierung der mechanischen Eigenschaften (R_m & A)
- Geeignete Werkstoffgruppe: Sphäroguss (GJS)

43



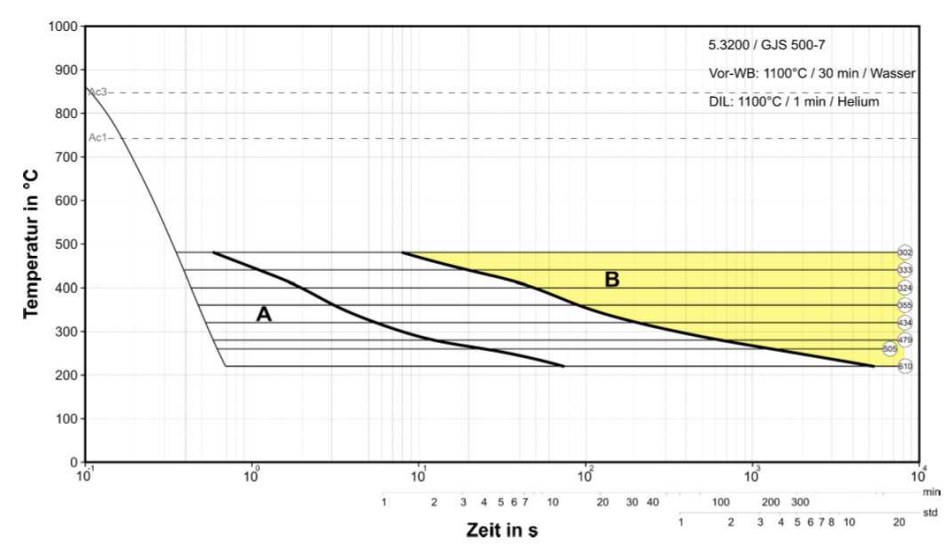




- Analyse des Umwandlungsverhaltens mittels Abschreck-Dilatometrie anhand GJS 500-7
- Ergebnis bei kontinuierlicher Abkühlung: Bildung von Perlit (und Ferrit) ist der Bainitbildung vorgelagert
- Relativ schnelle Umwandlungskinetik führt zu erschwerter praktischer Umsetzung

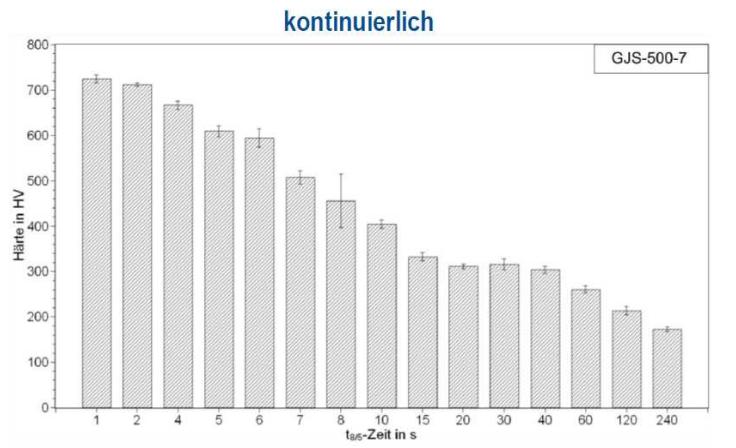


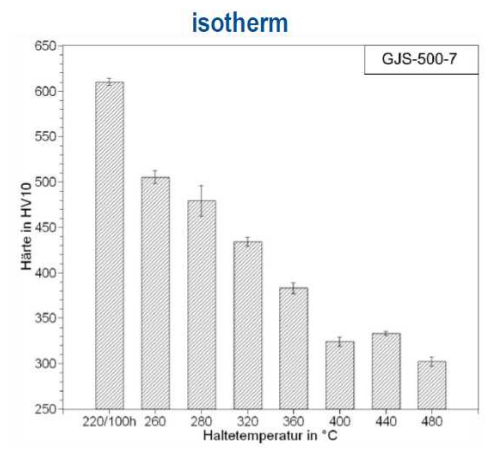




- Ergebnis bei isothermer Umwandlung: Bainit tritt unterhalb von etwa 500°C auf
- Wie erwartet: Erhebliche Verzögerung der Umwandlung mit abnehmender Temperatur
- Unterere kritische Umwandlungstemperatur ist durch M_s vorgegeben (vgl. vorherige Folie)



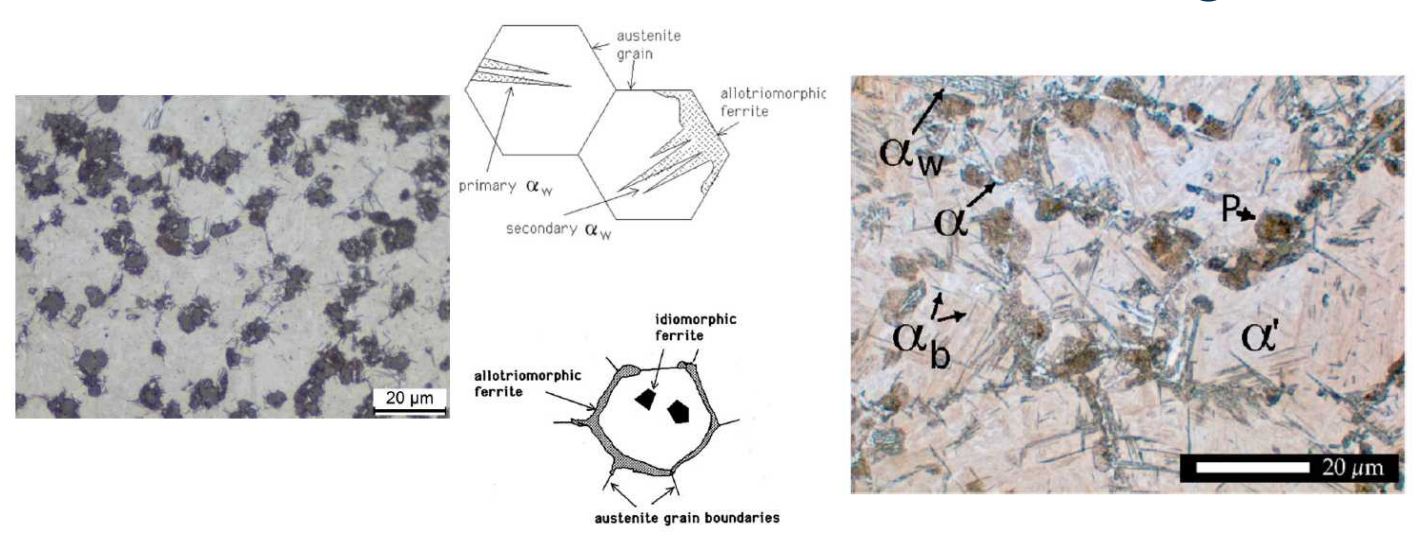




- Gegenüberstellung der Härte (HV10) nach kontinuierlicher und isothermer Umwandlung
- t_{8/5}-Zeiten beschreiben die Zeiten, die zum Durchlaufen des T-Intervalls von 800°C bis 500°C benötigt werden
- Niedrige t_{8/5}-Zeiten (kontinuierlich) => Martensit!
- Isotherme Umwandlungen führen zu Bainit + Restaustenit
- Langsame Umwandlung bei T=220°C erfordert lange Umwandlungsdauer von 100h!







- Bainitisierte Werkstoffe sind nie vollständig bainitisch (vgl. "Theorie der Bainitbildung")
- Unterschiedliche Arten an Ferrit können nebeneinander auftreten, abhängig von Umwandlungsparametern
- Optimal bzgl. mechanischer Eigenschaften ist ein hoher Anteil unterer Bainit mit Restaustenit (ohne P, M)





Zusammenfassung

- Anwendung von Bainit für Flachprodukte und Massivwerkstoffe
- Vorteile: Teils höhere Zähigkeit im Vergleich zu angelassenem Martensit, geringerer Verzug, teils einfacher gestaltete Wärmebehandlung
- Eigenschaften stark abhängig von der Umwandlungstemperatur
- Eigenschaften des Bainit weniger abhängig vom C-Gehalt
- "Advanced Bainitic Steels" mit vergleichsweise geringem C-Gehalt
- Wesentliche Legierungselemente: Mn & B zu Verzögerung der Perlitbildung und vergleichsweise geringer Verzögerung der Bainit-Bildung
- Begrenzung der untereren Umwandlungstemperatur durch MS
- Erhebliche Verzögerung der Umwandlung mit abnehmender Temperatur



Überprüfungsfragen

- Was verstehen Sie unter der "Umwandlungslücke"?
- 2. Das Legierungselement Silizium unterdrückt die Bildung von Zementit. Welche negativen Effekte muss man jedoch beachten?
- 3. Welchen Vorteil bietet ein bainitisches Gefüge im Vergleich zu einem auf gleiche Härte vergüteten martensitischen Gefüge?
- 4. Nennen Sie typische Anwendungsbereiche bainitischer Stähle.
- 5. Welche Funktion hat das Element Bor?
- 6. Wofür steht die Abkürzung "ADI"? Wie sieht eine typische Wärmebehandlung aus?
- 7. Was ist mit dem Begriff "Austempering" gemeint?
- 8. Wieso ist die Festigkeit des Bainit weniger abhängig vom C-Gehalt als die eines angelassenen Martensit?



Literatur

- 1. H.K.D.H. Bhadeshia, Bainite in Steels, Cambridge University Press, 2001
- 2. Dr.-Ing. Dieter Liedtke: Merkblatt 450 "Wärmebehandlung von Stahl Härten, Anlassen, Vergüten, Bainitisieren", Ausgabe 2005, ISSN 0175-2006
- 3. Dr.-Ing. P. Sommer, Dr. Sommer Werkstofftechnik, Issum: Bainitisieren eine Maßnahme zur Einsatzoptimierung hochfester Bauteile, http://www.werkstofftechnik.com/zeitschrift/fachartikel/sommer_wbm2002_1.pdf
- 4. Vorlesungsskript "Werkstofftechnik", Prof. Theisen, LWT, RUB



50

Vielen Dank für Ihre Aufmerksamkeit und Ihre Mitarbeit!

Prof. Dr.-Ing. Sebastian Weber Fakultät für Maschinenbau Lehrstuhl Werkstofftechnik Universitätsstr. 150, IC 03-319 D-44801 Bochum

